

胡亚岚. 地震灾害新闻报道中的信息准确性与公众认知差异分析[J]. 华南地震, 2025, 45(3): 175-181. [HU Yalan. Analysis of Information Accuracy and Public Perception Differences in Earthquake Disaster News Reporting [J]. South China journal of seismology, 2025, 45(3): 175-181]

## 地震灾害新闻报道中的信息准确性 与公众认知差异分析

胡亚岚

(商洛学院 人文学院, 陕西 商洛 726000)

**摘要:** 地震灾害严重威胁着人类社会安全, 灾害信息传播的准确性直接影响公众应急响应效能。此研究基于灾害新闻报道特征和信息处理机制, 采用问卷调查法, 收集 333 份有效问卷, 通过独立样本 T 检验和单因素方差分析, 分析教育程度、性别特征与地理分区对灾害信息认知差异的影响机制, 研究发现教育水平影响信息可信度与行动指导性判断, 更通过调节科学素养水平加剧群体内部认知分化。因此, 研究建议建立教育水平适配的信息分级体系, 通过全域信息中枢建设实现应急指引的精确信息传达。

**关键词:** 地震灾害; 新闻报道; 信息准确性; 公众认知差异

中图分类号: G212; C912.63

文献标识码: A

文章编号: 1001-8662(2025)03-0175-07

DOI: 10.13512/j.hndz.2025.03.21

## Analysis of Information Accuracy and Public Perception Differences in Earthquake Disaster News Reporting

HU Yalan

(School of Humanities, Shangluo University, Shangluo 726000, China)

**Abstract:** Earthquake disasters seriously threaten the safety of human society, and the accuracy of disaster information dissemination directly affects public emergency response effectiveness. Based on the characteristics of disaster news reporting and information processing mechanisms, this study collected 333 valid questionnaires by questionnaire survey method, and analyzed the influence mechanisms of education level, gender characteristics, and geographic location on the cognitive differences of disaster information by independent samples *T*-test and one-way analysis of variance (ANOVA), and the results reveal that the education level affects the credibility of the information and the guiding judgement of actions, and intensifies the cognitive differentiation within the group by regulating the level of scientific literacy. Therefore, it is suggested to establish a hierarchical information system that is appropriate for the education level so that accurate information can be conveyed through the construction of an information hub in the whole region to achieve emergency guidance.

**Keywords:** Earthquake disaster; News reporting; Information accuracy; Public perception differences

收稿日期: 2024-03-10

基金项目: 陕西省教育厅 2023 年度人文社科一般专项科研项目 (23JK0084)

作者简介: 胡亚岚 (1992-), 女, 硕士, 讲师, 研究方向为新媒体传播。

E-mail: 954555301@qq.com

## 0 引言

当前,地震灾害已成为威胁人类社会安全的高频风险源。环太平洋地震带与欧亚地震带的持续活动,使得包括中国在内的多个国家常年面临强震威胁。近年来发生的多次破坏性地震事件表明,从灾情通报、救援指挥到重建规划,信息传递效率与质量直接决定着应急响应效能<sup>[1]</sup>。在震后黄金救援期内,受灾地区通信基础设施往往遭受重创,公众对权威信息的渴求与信息供给渠道的瘫痪形成尖锐矛盾<sup>[2]</sup>。这一现实困境将灾害新闻报道推至风险治理的核心位置,其传递内容的准确性不仅关乎个体避险决策的科学性,更影响着社会动员的有效性与灾后秩序的重建进程。在此背景下,新媒体平台凭借其即时性、交互性优势,逐渐成为公众获取地震资讯的首要渠道<sup>[3]</sup>,但传播主体的多元化也带来了信息质量控制的严峻挑战。社交网络中几何级数扩散的碎片化信息,常常裹挟着未经核实的灾情描述、夸大渲染的损失数据或片面解读的专业术语,与权威机构发布的科学信息形成复杂博弈。这种信息环境的混杂性导致公众认知出现显著分化,部分群体陷入信息过载引发的决策瘫痪,更多人则因无法甄别信息真伪而产生非理性恐慌或盲目乐观。这种信息准确性与公众认知的系统性偏差,正在消解传统灾害应对体系中精心构建的信息传导机制,亟待通过实证研究揭示其形成机理与干预路径。因此,本文将探讨地震灾害新闻报道中的信息准确性与公众认知差异,以期为优化灾害信息传播策略提供参考。

## 1 相关概述

### 1.1 灾害新闻报道的传播特征

灾害新闻报道的传播特征由其特殊的社会功能与传播环境共同形塑,呈现出多维度的矛盾统一性。在时效性追求方面,地震等突发灾害事件的高度破坏性迫使媒体须在灾后极短时间内启动信息传播,这种对速度的极致追求往往导致事实核查流程的压缩,使初步发布的伤亡数据、震级参数等关键信息存在动态修正的必然性<sup>[4]</sup>。专业性要求构成了另一核心特征,报道内容需要准确转译地震波参数、建筑结构损伤机理等专业领域知识,但媒体为提升公众可理解性进行的通俗化改编,可能造成科

学表述的精确度流失。情感维度上,灾害报道天然具有强烈的人文关怀属性,记者通过受灾者个体叙事唤起社会共情的传播策略,虽能有效动员救灾力量,却也容易模糊事实陈述与情感渲染的边界。

### 1.2 灾害信息处理机制

灾害信息处理机制呈现多维度的认知复杂性,其运行逻辑根植于风险感知的特殊情境与人类决策的有限理性。在信息接收阶段,个体受限于注意力资源的稀缺性<sup>[5]</sup>,往往对地震震级、伤亡人数等量化指标产生选择性关注,这种过滤机制导致技术细节的认知损耗。风险评估环节存在显著的心理捷径依赖,鲜活的受灾者叙事比统计概率数据更具认知冲击力,使得个体风险判断易受情感化表达的影响。在决策输出层面,信息处理结果转化为具体行动时会受到群体行为的调节,当社交网络中出现大规模物资抢购动态时,即便官方信息明确表示物资充足,从众心理仍会驱动非理性行为<sup>[6]</sup>。此外,信息处理能力的个体差异进一步分化公众认知,科学素养较高者能建立信息间的逻辑关联,而知识储备不足者更依赖信息源的权威性进行真伪判断,这种分化在新媒体传播生态中呈现出加剧态势。

## 2 研究设计

### 2.1 研究方法

本研究采用问卷分析与定量分析结合的研究方法。在媒体信息维度,通过构建多层级评估框架对新闻报道进行解构,重点考察事实陈述的客观性、数据引用的规范性和专业表述的准确性三个核心指标。公众认知层面设计多维测量工具,涵盖信息可信度判断、风险感知强度、行为指导效度等关键变量,通过分层抽样确保样本的地域分布与受灾强度匹配。

### 2.2 数据采集

数据采集过程遵循系统性原则,分别针对媒体信息源与公众认知主体构建差异化的样本获取机制。媒体样本选取覆盖地震事件核心时间窗口的多元传播载体,包括中央与地方级主流媒体的官方通报、市场化媒体的深度报道以及社会化媒体平台的用户生成内容,重点捕获不同传播主体在关键灾情参数表述、救援进展更新和专家解读转载等方面的信息呈现特征。公众样本采集采用地理分层与行为

特征相结合的抽样策略<sup>[7]</sup>,根据震中距离划分核心受灾区、外围影响区和信息关注区三级抽样圈层,在每个圈层内按人口结构比例抽取调查对象,同时通过预设筛选条件确保样本涵盖不同媒介使用习惯群体。

### 2.3 测量工具

#### 2.3.1 媒体准确性指数

媒体准确性指数通过三维度九指标构建评估体系,如表1所示,事实陈述客观性考察信源标注机

制、多元视角平衡与推测信息标识;数据引用规范性聚焦溯源精确度、时效匹配度与统计完整性;专业表述准确性评估术语标准性、概念适配度与单位统一性。

#### 2.3.2 公众认知量表

公众认知量表通过信息可信度、风险感知度<sup>[8]</sup>、行动指导性、情绪反应强度及信息处理能力五维度构建评估体系,如表2所示,采用5点式李克特量,“5”对应非常同意,“1”对应非常不同意,以提供测量框架。

表1 媒体准确性判断指标

Table 1 Judgement indicators of media accuracy

核心指标	评估维度	评分标准(0~2分)
事实陈述客观性	信息源明确性	0=未标注来源 1=单一来源 2=多方印证
	多方观点平衡性	0=单一视角 1=提及不同观点 2=均衡呈现
	推测性表述标识	0=未标注推测 1=部分标注 2=全程区分
数据引用规范性	数据溯源性	0=无来源 1=模糊标注 2=精确到发布机构
	数据时效性	0=过时数据 1=混合新旧 2=全时段对应
	统计口径完整性	0=缺失说明 1=部分说明 2=完整技术注释
专业表述准确性	术语使用标准度	0=错误术语 1=通俗替代 2=规范科技术语
	概念解释适配性	0=误导性解读 1=简化表述 2=专业级解释
	单位系统统一性	0=混合单位制 1=主单位制 2=国际标准单位

表2 公众认知量表

Table 2 Public awareness scale

认知维度	测量指标	题项
信息可信度	信息真实性判断	认为伤亡数据反映实际情况
	信息源权威性认知	对政府部门发布数据的信任程度
风险感知度	个人风险预估	评估自身受余震影响的概率
	社会风险扩散感知	认为灾害对经济系统的冲击程度
行动指导性	避险行为明确性	是否清楚具体撤离路线
	资源调配合理性	判断物资分配建议的可操作性
情绪反应强度	焦虑情绪触发程度	信息接收后的心理紧张水平
	社会信任波动性	对灾后重建信息的期待值
信息处理能力	专业术语理解度	震源深度数值的准确解读能力
	矛盾信息甄别力	不同渠道数据冲突时的判断策略

### 2.4 分析方法

分析方法采用统计建模与质性分析相结合的混合路径。首先通过信效度检验确保测量工具的内部一致性。在差异分析阶段,采用独立样本t检验比较不同性别信息接收者的认知偏差程度,通过单因素方差分析识别地域分布、教育水平等群体特征的

认知分化规律。

## 3 数据分析

### 3.1 描述性统计

本研究数据采集过程共回收有效问卷333份,

样本量达到社会科学研究中等规模调查的常规标准，能够支持后续量化分析的统计效力要求。在信度检验环节，采用Cronbach's  $\alpha$  系数评估量表内部一致性，如表3所示，检验结果显示整体信度系

数为0.746，标准化系数提升至0.763，两项指标均超过0.7的基准阈值。该结果表明由10个题项构成的测量工具具有可接受的稳定性，各题项间存在适度的相关性特征。

表3 Cronbach's  $\alpha$  系数表  
Table 3 Cronbach's alpha coefficients

Cronbach's $\alpha$ 系数	标准化Cronbach's $\alpha$ 系数	项数	样本数
0.746	0.763	10	333

效度检验结果显示(表4)，KMO值为0.882，远超0.7的基准阈值，表明变量间存在显著共同因子，满足因子分析的数据条件。Bartlett球形度检验近似卡方值达646.319( $df=36, p<0.001$ )，强力拒

绝变量独立性的原假设，证实观测数据具有显著相关性结构。两项检验的联合结果表明，量表题项间存在高度关联性特征，能够有效提取潜在公共因子。

表4 KMO检验和Bartlett的检验  
Table 4 KMO test and Bartlett's test

KMO值		0.882
Bartlett球形度检验	近似卡方	646.319
	$df$	36
	$P$	0.000***

数据样本背景信息如图1所示，性别构成基本均衡，男性受访者占比51.95%，女性占比48.05%，性别比例差异未超过4%。教育程度结构呈现橄榄型特征，基础教育阶段群体占比最高，其中初中教育水平者达24.32%，小学及高中群体分别占21.62%和17.12%，高等教育群体合计占比36.93% (大专及本科23.12%、硕士及以上13.81%)。地域分布方面，根据地震影响强度划分的三级关注区

覆盖完整，核心受灾区域样本占31.23%，外围影响区占32.43%，信息关注区占36.34%，三类区域样本量差值控制在5个百分点以内，既体现受灾梯度差异又保持区域可比性。该样本结构有效兼顾性别平衡、教育层次连续性与地域灾害暴露度的三维特征，为后续差异分析提供了具有生态效度的研究基础。

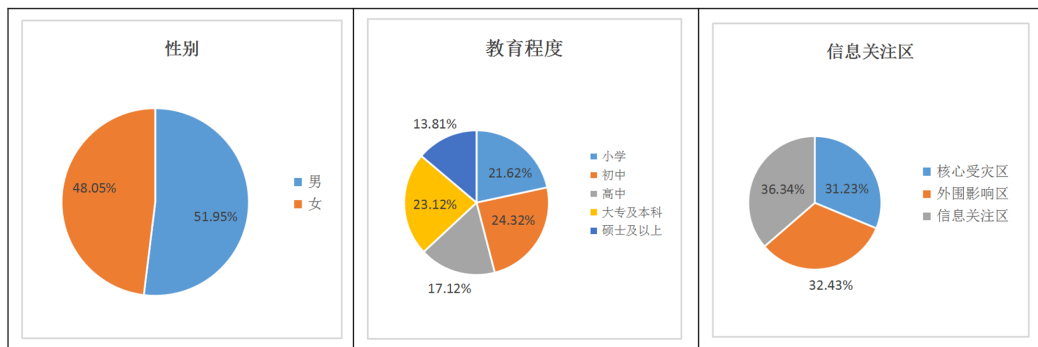


图1 数据样本背景信息

Fig.1 Background information on data samples

媒体准确性指数与公众认知量表维度描述性统计如表5所示，地震信息准确度变量的数值分布最为集中，其平均值13.498接近量表均值，标准

差1.496与方差2.239均为六项指标中最低值，表明受访者对该维度的评价相对趋同。其余五个变量的测量数据则表现出更显著的离散特征，其中

信息可信度与行动指导性的方差分别达到 3.710 和 3.740, 标准差均超过 1.9, 反映出公众对这两个维度的认知存在较大分歧。风险感知度与情绪反应强度的平均值分别为 7.402 和 7.324, 标准差分别为 1.850 和 1.900, 表明多数受访者对灾害风险的判断处于中等偏上水平。信息处理能力标准差达 1.910,

显示公众在灾害信息解码能力方面存在显著分化。整体数据分布呈现中间聚集、两端延伸的特征, 除地震信息准确度外, 其余变量的峰度系数均指向较平坦的分布形态, 这种数据特征为后续差异检验提供了必要的统计基础。

表5 媒体准确性指数与公众认知量表维度描述性统计

Table 5 Descriptive statistics of media accuracy index and public perception scale dimensions

变量名	最大值	最小值	平均值	标准差	方差
地震信息准确度	17	9	13.498	1.496	2.239
信息可信度	10	2	7.234	1.926	3.710
风险感知度	10	2	7.402	1.850	3.422
行动指导性	10	2	7.312	1.934	3.740
情绪反应强度	10	2	7.324	1.900	3.611
信息处理能力	10	2	7.411	1.910	3.646

### 3.2 差异显著性检验

#### (1) 性别维度

表6的性别维度独立样本 *T* 检验结果显示, 所有测量维度的显著性水平均未达到统计学阈值, 表明性别差异未对公众灾害信息认知形成显著影响。具体而言, 信息可信度维度中女性均值 (7.131±2.025) 与男性 (7.329±1.830) 的差异幅度为 0.198 分, *t* = -0.938 的检验统计量显示两性在该维度的评估趋同性高于差异性。风险感知度维度呈

现独特的均值趋近特征, 女性 (7.425±1.908) 与男性 (7.382±1.799) 的差值缩小至 0.043 分, 叠加 0.831 的高 *P* 值, 说明性别因素在风险判断中未形成结构化差异。行动指导性维度出现均值完全等同现象 (7.312 分), 但女性标准差 (2.108) 较男性 (1.764) 扩大 19.5%, 暗示女性群体内部能力分化更为显著。情绪反应强度维度虽存在 0.215 分的均值差异, 但 1.979 的女性标准差与 1.824 的男性标准差形成的重叠分布区, 弱化了差异的实质性意义。

表6 性别维度独立样本 *T* 检验分析结果

Table 6 Results of independent samples *T*-test analysis for gender dimension

变量名	变量值	平均值	标准差	<i>T</i> 检验
信息可信度	女	7.131	2.025	<i>T</i> = -0.938 <i>P</i> = 0.349
	男	7.329	1.830	
风险感知度	女	7.425	1.908	<i>T</i> = 0.214 <i>P</i> = 0.831
	男	7.382	1.799	
行动指导性	女	7.312	2.108	<i>T</i> = 0.002 <i>P</i> = 0.999
	男	7.312	1.764	
情绪反应强度	女	7.213	1.979	<i>T</i> = -1.033 <i>P</i> = 0.302
	男	7.428	1.824	
信息处理能力	女	7.263	1.992	<i>T</i> = -1.370 <i>P</i> = 0.172
	男	7.549	1.825	

注: \*\*\*, \*\*, \* 分别代表 1%、5%、10% 的显著性水平

## (2)教育程度维度

教育程度维度方差齐性检验如表7所示,不同教育水平群体在灾害信息认知各维度的离散程度呈现显著分化特征。地震信息准确度与信息可信度维度的Levene检验 $P$ 值分别为0.181和0.499,说明不同教育群体对震级参数、伤亡数据等客观信息的理解离散性保持相对稳定,小学组标准差(1.289)与硕士组(1.445)差值仅为0.156,群体内部认知差异未随教育水平提升呈现规律性变化。但风险感知度( $P=0.043$ )与情绪反应强度( $P=0.048$ )维度表现出显著方差不齐性,具体表现为基础教育群体内部认知分化更为突出:小学组在风险感知维度的标准差达2.192,显著高于大专组的1.550,这种差距反映低学历群体对余震概率、次生灾害等风险的判断标准存在较大分歧;初中组在情绪反应维度的标准差攀升至2.032,较硕士组的1.837高出10.6%,说明中等教育群体对灾情信息的情感

反馈稳定性较弱。信息处理能力维度的方差异质性最为显著( $P=0.009$ ),高中教育群体的标准差达到2.196的峰值,较方差最低的大专组(1.740)差异幅度达26.2%,揭示中等教育向高等教育过渡阶段,个体信息解码能力出现剧烈分化。研究结果表明,教育程度不仅影响公众灾害认知的集中趋势,更深层次地影响着群体内部的认知差异结构,这种双重作用机制要求应急信息传播建立教育水平适配的分层沟通体系。

## (3)地震信息关注区维度

基于Levene方差齐性检验结果(表8),地震信息关注区的三个地理分区(核心受灾区、外围影响区、信息关注区)在六项认知维度上均未呈现显著方差异质性。这一发现揭示出灾害信息认知的离散程度具有跨区域稳定性特征,地理距离的远近并未显著影响公众对灾害信息理解的同质化水平。

表7 教育程度维度方差齐性检验

Table 7 Homogeneity test of variance for educational attainment dimension

维度	教育程度(标准差)					Levene统计量	$P$
	小学	初中	高中	大专及本科	硕士及以上		
地震信息准确度	1.289	1.639	1.541	1.485	1.445	1.574	0.181
信息可信度	1.949	1.871	2.074	1.956	1.691	0.843	0.499
风险感知度	2.192	1.857	1.813	1.55	1.785	2.486	0.043**
行动指导性	2.003	1.75	2.05	1.84	2.183	1.771	0.134
情绪反应强度	1.752	2.032	1.93	1.93	1.837	2.339	0.048**
信息处理能力	1.846	1.884	2.196	1.74	1.915	3.026	0.009***

注:\*\*\*、\*\*、\*分别代表1%、5%、10%的显著性水平

表8 地震信息关注区维度方差齐性检验

Table 8 Homogeneity test of variance for concern dimension of seismic information area

维度	地震关注区(标准差)			Levene统计量	$P$
	核心受灾区	外围影响区	信息关注区		
地震信息准确度	1.507	1.507	1.489	0.054	0.948
信息可信度	1.759	1.879	2.11	2.235	0.109
风险感知度	1.893	1.928	1.733	0.952	0.387
行动指导性	1.936	1.852	2.007	0.232	0.793
情绪反应强度	1.859	1.83	2.004	0.923	0.399
信息处理能力	1.89	1.954	1.901	0.606	0.546

注:\*\*\*、\*\*、\*分别代表1%、5%、10%的显著性水平

### 3.3 讨论

研究表明,灾害信息认知差异的形成机制具有显著的变量选择性特征。性别维度影响的非显著性,提示传统风险传播理论中基于人口统计学特征的群体划分策略存在效度局限,性别因素在灾害情境下的解释力被媒介使用模式等中介变量所稀释<sup>[9]</sup>。教育程度展现的双重作用机制,既塑造群体认知均值差异又影响群体内部分化程度,证实知识鸿沟理论在灾害传播场域具有更强的适用性<sup>[10]</sup>,这种作用在信息处理能力维度尤为突出,揭示科学素养对公众信息解码的关键调节作用。地理分区的方差齐性特征,则暗示新媒体传播技术有效消解了物理距离对信息理解离散度的传统制约,使远端公众的认知结构呈现趋近灾区的反常特征,这对灾后社会情绪共振现象的产生具有解释价值。

认知差异的变量敏感度差异对应急管理体系重构提出新要求。教育程度作为核心预测变量,要求建立梯度化信息供给机制,针对基础教育群体开发可视化信息产品,对高等教育群体则需强化专业术语的精确转译。性别因素的弱解释力则警示应避免刻板化传播策略,转而关注媒介接触频率与信息源可信度的交互效应。地理分区的认知同质化现象,要求打破传统按行政层级逐级发布的信息扩散模式,通过建立全域同步的官方信息中枢,抑制非官方信源的空间渗透差异。

## 4 结论

本研究基于对灾害新闻报道的传播特征与公众灾害信息处理机制的概述,采用问卷调查和定

量分析的方法,揭示了性别维度认知差异的解释力相对有限;教育程度影响着公众对灾害信息的理解水平,更深层次地形塑群体内部的认知分化结构;地理分区的方差齐性特征证实物理距离对认知离散度的传统制约被数字传播技术消解,推动形成全域联动的灾害信息认知场域。因此,本研究提出需构建教育水平适配的梯度化供给体系,同步建立跨区域信息协同机制,以优化灾害信息传播策略。

### 参考文献

- [1] 盛陈衍. 上海广播在灾难报道中的全媒体实践——以西藏定日6.8级地震报道为例[J]. 上海广播电视研究, 2025(02): 107-114.
- [2] 门晓菲. 协同治理视角下H省地震预警机制研究[D]. 石家庄: 河北师范大学, 2024.
- [3] 倪婷. 突发事件新闻报道的策略研究——以自然灾害应急通信保障新闻为例[J]. 中国报业, 2024(06): 206-207.
- [4] 王卫池. 突发自然灾害类短视频增进社会风险沟通研究[D]. 南京: 南京林业大学, 2023.
- [5] 焦慧芳. 古建筑群居民防火减灾行为和 Information 沟通机制研究[D]. 合肥: 中国科学技术大学, 2018.
- [6] 郗子君, 荣莉莉, 颜克胜. 基于新闻报道的突发事件灾害后果及其应对的时空分析——以汶川8.0级地震为例[J]. 灾害学, 2015, 30(04): 163-172.
- [7] 张玮晶. 我国新闻媒体在突发地震事件应对中的责任与义务[J]. 华南地震, 2014, 34(04): 102-106.
- [8] 牛嫣. 我国地震灾害电视媒体新闻报道研究[D]. 昆明: 云南师范大学, 2014.
- [9] 刘丹. 互联网背景下塑料企业的网络营销策略优化[J]. 塑料助剂, 2024(06): 102-105.
- [10] 殷玉玲, 李磊. 电池技术专业人才就业质量的评估与提升[J]. 电池, 2025, 55(01): 202-205.